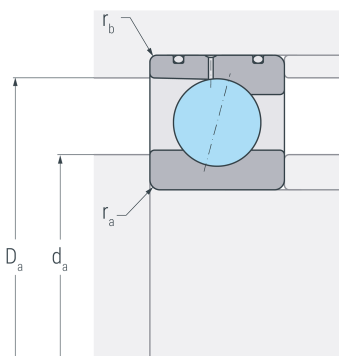
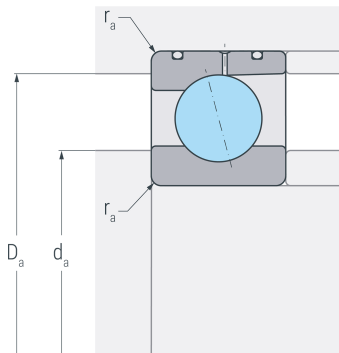


# HCBS7015C.DLR.T.P4S

Hybrid-Spindellager für höhere Drehzahlen, angestellt, paar- oder satzweise, Druckwinkel 17°, eine Schmierrille mit zwei Schmierbohrungen, zwei Ringnuten mit O-Ringen, Hartgewebekäfig, eingengte Toleranzen, Ringe aus Qualitätswälzlagerstahl, Wälzkörper aus Siliziumnitrid



## Abmessungen

<b>d</b>	(mm)	75	Bohrungsdurchmesser
<b>D</b>	(mm)	115	Außendurchmesser
<b>B</b>	(mm)	20	Breite
<b>a</b>	(mm)	25	Stützweite
<b>r<sub>s min</sub></b>	(mm)	1.1	minimaler Kantenabstand
<b>r<sub>1s min</sub></b>	(mm)	0.6	minimaler Kantenabstand

## Druckwinkel

<b>α</b>	(°)	17	Druckwinkel
----------	-----	----	-------------

## DLR-Abmessung

<b>N<sub>B</sub></b>	(mm)	1.8	Breite der Nut
<b>N<sub>A</sub></b>	(mm)	4	Abstand der Nut
<b>S<sub>B</sub></b>	(mm)	1.6	Breite der Schmierrille
<b>S<sub>A</sub></b>	(mm)	11.6	Abstand der Schmierrille

## Gewicht

<b>kg</b>	0.625	Gewicht
-----------	-------	---------

# HCBS7015C.DLR.T.P4S

Hybrid-Spindellager für höhere Drehzahlen, angestellt, paar- oder satzweise, Druckwinkel 17°, eine Schmierrille mit zwei Schmierbohrungen, zwei Ringnuten mit O-Ringen, Hartgewebekäfig, eingengte Toleranzen, Ringe aus Qualitätswälzlerstahl, Wälzkörper aus Siliziumnitrid

## Anschlussmaße

<b><math>d_a</math> h12</b>	(mm)	82	Durchmesser der Wellenschulter
<b><math>D_a</math> H12</b>	(mm)	107	Durchmesser der Gehäuseschulter
<b><math>r_{a \max}</math></b>	(mm)	1.1	maximaler Rundungsradius
<b><math>r_{b \max}</math></b>	(mm)	0.6	maximaler Rundungsradius

## Leistungsdaten

<b><math>C_r</math></b>	(kN)	38	dynamische Tragzahl, radial
<b><math>C_{0r}</math></b>	(kN)	22	statische Tragzahl, radial
<b><math>C_{ur}</math></b>	(kN)	1.29	Ermüdungsgrenzbelastung, radial
<b><math>n_{G \text{ oil}}</math></b>	(min <sup>-1</sup> )	32000	Grenzdrehzahl, Ölschmierung
<b><math>F_{VL}</math></b>	(N)	128	Vorspannkraft, leicht
<b><math>F_{VM}</math></b>	(N)	338	Vorspannkraft, mittel
<b><math>F_{VS}</math></b>	(N)	709	Vorspannkraft, schwer
<b><math>C_{aL}</math></b>	(N/μm)	71	axiale Steifigkeit, leicht
<b><math>C_{aM}</math></b>	(N/μm)	102	axiale Steifigkeit, mittel
<b><math>C_{aS}</math></b>	(N/μm)	137	axiale Steifigkeit, schwer
<b><math>K_{aEL}</math></b>	(N)	373	Abhebekraft, leicht
<b><math>K_{aEM}</math></b>	(N)	1000	Abhebekraft, mittel
<b><math>K_{aES}</math></b>	(N)	2170	Abhebekraft, schwer